

## ارائه مدل تغییرات شعاعی و عمودی چگالی تنۀ درختان راش (Fagus orientalis L.) در جنگل‌های هیرکانی با استفاده از تکنیک شبکه عصبی مصنوعی

علی‌اصغر واحدی<sup>۱\*</sup>، اسدالله متاجی<sup>۲</sup> و فاطمه فرجی<sup>۳</sup>

<sup>۱</sup> دکتری جنگل‌شناسی و اکولوژی جنگل، مؤسسه تحقیقات جنگل‌ها و مراتع کشور، تهران

<sup>۲</sup> دانشیار گروه جنگل‌شناسی و اکولوژی جنگل، واحد علوم و تحقیقات، دانشگاه آزاد اسلامی، تهران، ایران

<sup>۳</sup> کارشناس ارشد جنگلداری، واحد علوم و تحقیقات، دانشگاه آزاد اسلامی، تهران، ایران

(تاریخ دریافت: ۱۳۹۳/۱۰/۲۱؛ تاریخ پذیرش: ۱۳۹۳/۱۲/۲۰)

### چکیده

چگالی چوب درختان مهم‌ترین متغیری است که پیشینه تحولات مربوط به مقادیر تولیدی زیستوده و موجودی ترسیب کربن مورد بررسی و بهنحوی فرایند توالی در یک رویشگاه را نشان می‌دهد. از این‌رو در تحقیق حاضر با هدف ارائه مدل متغیر مذکور، یک دیسک کامل در فواصل ۵، ۳۵ و ۶۵ درصد از طول تنۀ ۲۱ اصله از درختان راش (F. orientalis) قطع شده در زمستان سال ۱۳۹۲ در پارسل ۲۱ سری ۳ جنگل‌های حاجیکلا-تیرانکلی ساری برداشت شد. سپس قطعاتی با حجم ثابت ( $2 \times 2 \times 2$  سانتی‌متر مکعب) به نسبت ۱۰ و ۵۰ و ۹۰ درصد از طول شعاع دیسک‌های مذکور تکه‌برداری شده و در آون در دمای ۱۰.۵ درجه سانتی‌گراد به مدت ۲۴ ساعت خشک شد. پس از محاسبه چگالی، نتایج آزمون تجزیه واریانس نشان داد که تغییرات شعاعی و عمودی متغیر مذکور در تنۀ درختان مورد بررسی معنی‌دار نیستند. کلیه مقادیر چگالی به دست‌آمده در راستای عمودی تنۀ به ازای کمیت‌های زیست-فیزیکی قابل اندازه‌گیری با استفاده از شبکه عصبی پیش‌خور الگوریتم پسانشوار FFBP مدلسازی شدند. در نتایج تحقیق حاضر، کلیه مدل‌ها با توبولوژی مختلف شبکه با استفاده ازتابع انتقال غیر خطی Logsig معرفی شدند. نتایج مدلسازی در تحقیق حاضر نشان داد که مدل حاوی لایه ورودی نسبت قطر تاج به قطر برابری نه، قطر برابری نه، شاخص حجم و ضریب لاغری با تعداد سه لایه و ۲۰ نورون در شبکه عصبی مدنظر با حداقل خطای آزمون، مدل بهینه برای تخمین چگالی تنۀ درختان راش در منطقه پژوهش محسوب می‌شود ( $R^2 = 0.75$ ,  $S = 0.07$ ).

**واژه‌های کلیدی:** تابع انتقال، ترسیب کربن، توبولوژی، چگالی چوب، هوش مصنوعی.

به تنوع گونه‌ای زیاد، بسیار محدود است و اطلاعات کافی در دسترس نیست، جرم حجمی چوب می‌تواند مهم‌ترین عامل تعیین و تفکیک مقادیر زی‌توده و ترسیب کربن هر گونه در سطوح مختلف محسوب شود (Rebeiro *et al.*, 2011; Navar, 2009) مهم‌ترین مزایای محاسبات چگالی در زمینه اکولوژی علاوه بر موارد ذکر شده، استفاده از آن برای برآوردهای چه صحیح‌تر عامل تعمیم زی‌توده یا BEF<sup>۱</sup> (نسبت زی‌توده تنۀ یا زی‌توده توده به حجم تنۀ) به عنوان یک ضریب ثابت برای به‌دست آوردن موجودی زی‌توده یا موجودی ترسیب کربن یک گونه یا توده در سطح رویشگاه، منطقه یا حتی در سطح وسیع‌تر است (Fang and Wang, 2001; Green *et al.*, 2007; Joosten *et al.*, 2004; Pajtik *et al.*, 2008). چگالی چوب هر رویشگاه متغیری است که ساختار جنگل، نرخ رشد قطري، پيشينه تحولات و رويداد مربوط به مقادير توليدی زی‌توده مورد بررسی و به‌نحوی فرایند Baker *et al.*, 2004; Rebeiro *et al.*, 2011 توالی منطقه را نشان می‌دهد (Henry *et al.*, 2010). چگالی چوب یک گونه درختی در رویشگاه‌های مختلف یا حتی در یک رویشگاه ممکن است تحت تأثیر مدیریت جنگل، تغییرات رژیم بارندگی و دیگر عوامل اقلیمی مانند درجه حرارت سالیانه، رژیم‌های مختلف آشفتگی، تبادل عناصر غذایی و مقدار حاصلخیزی خاک تغییر پیدا کند (Green *et al.*, 2006; Mani and Parhasarathy, 2007; Vallet *et al.*, 2006). زمان، متفاوت است (Aboal *et al.*, 2005) از این‌رو، به‌خصوص در مقاطع عرضی و راستای تنۀ در طول زمان، متفاوت است (Henry *et al.*, 2010) از این‌رو، مقدار شعاعی و عمودی چگالی چوب درون گونه‌ای یا برون گونه‌ای تنۀ درختان در سال‌های مختلف رویش دارای تغییرات بارزی است (Peichl and Arain, 2006) بی‌گمان به ازای هر سال رویش به دلایل مختلف

## مقدمه و هدف

محاسبه یا تخمین صحیح زی‌توده درختان در عرصه‌های جنگلی برای استفاده‌های تجاری و درآمدزایی، طرح‌های توسعه ملی و در زمینه مطالعات اکولوژی در رابطه با تبادلات عناصر غذایی، ترسیب کربن و چرخه جهانی کربن، از موارد بسیار ضروری است که باید بیش از پیش به آن توجه شود (Basuki *et al.*, 2009; Henry *et al.*, 2010) به اینکه اندازه‌گیری مستقیم یا به‌عبارت دیگر تعیین مقادیر زی‌توده با استفاده از روش توزین، بسیار سخت، طاقت‌فرسا و در بیشتر مواقع ناممکن است، روش‌های تخمینی غیرتخریبی با دقت زیاد بهترین و ساده‌ترین جایگزین محسوب می‌شوند. از این‌رو چگالی<sup>۲</sup> (جرم حجمی) چوب درختان در روش‌های غیرتخریبی از عوامل مهم برای تخمین مقادیر مختلف زی‌توده (و ترسیب کربن) درختان به‌شمار می‌رود (Henry *et al.*, 2010). به طور معمول چگالی بین اجزای مختلف درختان از جمله ریشه، تنۀ و تاج، دارای مقادیر مختلف است (Henry *et al.*, 2010). از آنجایی که تنۀ درختان بیشترین سهم زی‌توده درختان (۸۰ درصد) را به خود اختصاص می‌دهد (واحدی، ۱۳۹۳) و بیشترین تمرکز تجاری، صنعتی و افزایش چوب با تنۀ درختان مرتبط است، از این‌رو در تحقیق حاضر، چگالی تنۀ درختان راش (به‌عنوان یک گونه با اهمیت اکولوژیکی و صنعتی در جنگل‌های شمال ایران) بررسی شد تا با استفاده از محاسبات بهینه جرم حجمی تنۀ بتوان در مطالعات آتی مقادیر زی‌توده و ذخایر موجودی کربن تنۀ درختان راش را به‌صورت غیر تخریبی به‌دست آورد. یکی از رایج‌ترین روش‌های تخمین زی‌توده و موجودی کربن تنۀ راش، استفاده از رابطه حجم تنۀ، ضریب کربن و چگالی چوب است (Aboal *et al.*, 2005; Peichl and Arain, 2006)

در زیست‌بوم‌هایی که بررسی برآورد زی‌توده و ذخایر کربن در سطح کلان مانند درختان قطور با توجه

<sup>1</sup> Wood density

<sup>2</sup> Biomass Expansion Factor

(Alvarez *et al.*, 2012; Navar, 2009

برای مدلسازی چگالی اندازه‌گیری شده (مشاهدات)، از تکنیک شبکه عصبی مصنوعی (ANN)<sup>۱</sup> استفاده شد. شبکه عصبی مصنوعی یکی از زیرمجموعه‌های سیستم هوش مصنوعی است که به طور خاص برای پیشرفت و ارائه مدل‌های بهینه از واحدهای پردازش به نام نورون<sup>۲</sup> استفاده می‌کند. در این روش مدلسازی، بین لایه‌های ورودی و خروجی با توجه به تعداد لایه‌های پنهان<sup>۳</sup> ساختارهای اتصالات مختلف ایجاد می‌شود و با توجه به تبادلات اطلاعات دریافتی (داده‌های ورودی) و مقدار رفت و برگشت اطلاعات در اتصالات ایجادشده شبیه مغز انسان، در نهایت یک پاسخ (خروچی) صحیحی با حداقل خطا به دست می‌آید (Hagan *et al.*, 1996). در سال‌های اخیر در مورد استفاده از تکنیک شبکه عصبی در زمینه‌های مختلف علوم جنگل تحقیقات مختلفی صورت گرفته که از آن جمله می‌توان به استفاده از شبکه عصبی برای بررسی تحلیل حساسیت عوامل مؤثر بر فراوانی قارچ‌های پوستزی (آفاجانی و همکاران، ۱۳۹۲)، کاربرد شبکه عصبی برای برآورد حجم تنۀ درختان (بیاتی و نجفی، ۱۳۹۲)، تخمین پایداری خاکدانه به وسیله شبکه عصبی (علی جانپور و همکاران، ۱۳۹۰)، مدلسازی زمان چوبکشی با استفاده از شبکه عصبی (Naghdi and Ghajar, 2012)، کاربرد شبکه عصبی برای شناسایی توده‌های جنگلی مستعد در معرض خطر باد (Hanewinkel *et al.*, 2004) و... نام برد. در تحقیق حاضر برای پیش‌بینی و مدلسازی مقادیر مختلف چگالی چوب تنۀ راش، از کلیۀ متغیرهای بیوفیزیکی قابل اندازه‌گیری درختان به عنوان متغیرهای ورودی استفاده شد تا بتوان در نهایت به پاسخی با حداقل دقت دست یافت.

مانند شرایط رویشگاهی، رژیم بارندگی و دیگر عواملی که در مطالب قبلی نیز عنوان شد، افزایش یا کاهش فعالیت‌های زایشی کامبیوم و مریستم‌های انتهایی رشد تحت تأثیر قرار می‌گیرد که بالطبع این امر سبب تغییرات جرم حجمی چوب تنۀ در مقاطع عرضی و ارتفاعی تنۀ می‌شود. در زمینه موضوع مطالعاتی تحقیق حاضر دستاوردهای متفاوتی وجود دارد. برای مثال می‌توان به تحقیق واحدی و متاجی (۱۳۹۲) اشاره کرد که به ارای ۲-۵ متر از طول تنۀ درختان بلوط در جنگل‌های طبیعی شمال ایران دریافتند که فقط به ازای تغییرات شعاعی در مقاطع عرضی تنۀ چگالی روند سینوسی را نشان می‌دهد، ولی در راستای طولی تنۀ تفاوت چندانی مشاهده نشد. Higuchi and de Carvalho (1994) دریافتند که چگالی درختان در ناحیۀ قطر برابر سینه نسبت به بخش‌های فوقانی تنۀ‌های تجاری مقادیر بیشتری را نشان می‌دهند. در صورتی که Espinoza (2004) گزارش داد که چگالی چوب درختان گونه Gmelina arborea در راستای تغییرات عمودی از کنده تا نصف ارتفاع کل، روند کاهشی دارد و سپس به سمت قسمت فوقانی و انتهایی تنۀ، روند افزایشی نشان می‌دهد. البته می‌توان به مطالعات Henry *et al.* (2010) در جنگل‌های استوایی در مورد سه نوع دسته‌بندی اجتماعی درختان اشاره کرد که نشان دادند بین تغییرات شعاعی و عمودی چگالی گونه‌های نورپسند غیرپیشگام، گونه‌های پیشگام و گونه‌های سایه‌پسند اختلاف معنی‌داری وجود دارد. در تحقیق حاضر، ابتدا روند تغییرات شعاعی چگالی تنۀ درختان راش مورد بررسی قرار گرفت تا بتوان بر مبنای فاصله از مرکز مقطع عرضی تنۀ به سمت محیط بیرونی (پوست) ارزیابی درستی نسبت به مقادیر واقعی چگالی چوب داشت. معمولاً از میانگین چگالی بدست آمده از مقاطع عرضی هر بخش از راستای عمودی تنۀ برای محاسبات و یا برآورد زی توده استفاده می‌شود (واحدی و متاجی، ۱۳۹۲)

<sup>1</sup> Artificial Neural Network

<sup>2</sup> Neuron

<sup>3</sup> Hidden layers

از قطع درختان، حذف سرشاخه‌ها و عملیات تجدید حجم، نمونه‌های یک دیسک کامل حتی الامکان به ضخامت ۲ سانتی‌متر (واحدی و متاجی، ۱۳۹۲؛ Aboal *et al.*, 2005; Henry *et al.*, 2010; Zhu *et al.*, 2010) در راستای طول تنۀ توسط ارهموتوری برداشت شد. دیسک‌های مذکور در سه بخش از طول تنۀ یعنی به ازای ۵، ۳۵ و ۶۵ درصد از ارتفاع درختان برداشت شدند (Machado *et al.*, 2014). شایان ذکر است که ۵ درصد از ارتفاع مختلف برای برش دیسک تقریباً معادل قطر برابری‌نئه درختان محسوب می‌شود. از این‌رو دیسک‌های مربوط به بخش اول تنۀ، به‌طور قراردادی مربوط به قطر برابری‌نئه درختان گونه مورد بررسی محسوب می‌شود (Machado *et al.*, 2014). سپس برای بررسی روند شعاعی چگالی چوب، از ۱۰، ۵۰ و ۹۰ درصد از طول شعاع مقطع عرضی کلیه دیسک‌های برداشت شده از هر پایه، از مغز چوب به‌سمت پوست نمونه‌هایی با ابعاد مساوی تکه‌برداری شد (Machado *et al.*, 2014).

حجم کلیه نمونه‌های تکه‌برداری شده  $2 \times 2 \times 2$  سانتی‌متر مکعب در نظر گرفته شد (واحدی و متاجی، ۱۳۹۲؛ واحدی، ۱۳۹۳). کلیه نمونه‌ها پس از توزیع بر روی ترازوی دیجیتالی در آون تحت دمای ۱۰۵ درجه سانتی‌گراد خشک شدند تا به وزن ثابت برسند.

#### تجزیه و تحلیل داده‌ها

ضریب رطوبت هر نمونه از نسبت وزن خشک به وزن تر، و چگالی هر نمونه نیز از نسبت وزن خشک به حجم تر ( $WD = M_{Dry} / V$ ) محاسبه شد (Alvarez *et al.*, 2012; Henry *et al.*, 2010)؛ پس از جمع‌آوری کلیه داده‌ها برای اجرای فرایند آنالیز، نرمال بودن مشاهدات توسط آزمون کولموگروف اسمیرنوف و همگنی داده‌ها توسط آزمون لون بررسی شد. برای مقایسه مقادیر مختلف چگالی چوب در راستای عمودی و شعاعی درون‌پایه‌ای و بین‌پایه‌ای از آزمون تجزیه واریانس یکطرفه استفاده شد. از آزمون توکی نیز برای مقایسه چندگانه میانگین استفاده شد.

#### مواد و روش‌ها

##### منطقه پژوهش

این تحقیق در قطعۀ ۲۱ سری ۳ جنگل‌های حاجیکلا- تیرانکلی ساری واقع در حوضه آبخیز ۷۳ جنگل‌های شمال ایران انجام گرفته است. مساحت منطقه  $46/4$  هکتار و محدوده ارتفاعی قطعه مورد بررسی، ۱۰۱۰ تا ۱۲۰۰ متر از سطح دریاست. این سری در محدوده "۳۶° ۲۵' ۳۰" تا "۳۶° ۲۵' ۳۰" طول عرض شمالی و "۵۳° ۲۶' ۷" تا "۵۳° ۳۰' ۲۵" شرقی قرار دارد. در محدوده پژوهش، کلیه درختان راش که توسط دستگاه‌های اجرایی در زمستان سال ۱۳۹۲ قطع شدند، برای نمونه‌برداری تخریبی، انتخاب شدند. در رویشگاه مذکور تیپ جنگل، درختان راش آمیخته به همراه ممرز، توسکا، افرابلت و افراسیردار است. سنگ مادر رویشگاه آهکی- آهک مارنی و تیپ خاک قهقهه‌ای شسته شده با افق کلسيک است. منطقه تحقیق در محدوده ارتفاعی پارسل مورد بررسی دارای اقلیم حد فاصل نيمه‌مرطوب معتدل و نيمه‌مرطوب سرد است. ميانگين حداکثر و حداقل دما به ترتيب  $29/2$  درجه سانتي‌گراد (مرداد) و صفر درجه سانتي- گراد (دي) است. متوسط بارندگي ساليانه  $618/8$  ميلی‌متر است (ميانگين حداقل بارندگي در مرداد و ميانگين حداکثر بارندگي در آبان گزارش شده است).

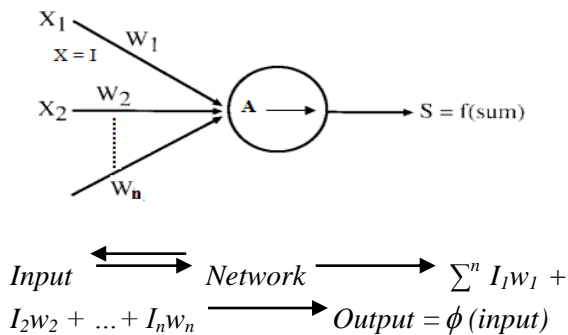
#### روش پژوهش و جمع‌آوری داده‌ها

به منظور اجرای پژوهش مورد نظر، در حين نشانه‌گذاری قبل از قطع درختان، ابتدا سه کلاسۀ قطری  $30$  تا  $60$  سانتی‌متر،  $60$  تا  $80$  سانتی‌متر و بيشتر از  $80$  سانتی‌متر برای تفکیک انتخاب شد (واحدی و همکاران، ۱۳۹۲). از هر طبقه قطری هفت درخت و در مجموع  $21$  پایه از درختان گونه مذکور توسط دستگاه‌های اجرایی قطع شد. کلیه مشخصات زیست‌فيزيکي درختان راش اعم از قطر برابری‌نئه، ارتفاع کل درختان، و قطر کوچک و بزرگ تاج در حين نشانه‌گذاری و قبل از قطع اندازه‌گيري شد. پس

.(Hagan *et al.*, 1996)

Input هر یک از داده‌های ماتریس ورودی در قالب  $I$  از طریق ترکیب مقادیر ورودی نورون‌ها ( $I_i$ ) و مقادیر وزنی یا سیناپس‌ها<sup>۵</sup> ( $w_i$ ) محاسبه می‌شوند (رابطه ۲). (Woods and Bowyer, 1997)

رابطه ۲



در طراحی شبکه عصبی مصنوعی، از شبکه عصبی رایج و عمومی FFBP<sup>۶</sup> استفاده شد. پس از انتخاب تابع آموزش TRAINLM، تعداد لایه‌ها و نورون‌ها با توپولوژی مختلف برای رسیدن به آستانه اپتیمال مدل تخمینی تغییر پیدا کرد. در داخل هر نورون تابع انتقال<sup>۷</sup> وجود دارد که در حقیقت سیگنال‌های حاصل از ورودی را می‌گیرد و خروجی را محاسبه می‌کند. خطاهای محاسبه شده به لایه‌های قبل در طی چند دور رفت و برگشت<sup>۸</sup> پس انتشار می‌یابند و اوزان و بایاس‌ها اصلاح می‌شوند (Hagan *et al.*, 1996). این دور تکرار تا به حداقل رسیدن خطا ادامه پیدا می‌کند. از تابع انتقال LOGSIG طبق رابطه ۳ استفاده شد.

$$Y_j = \frac{1}{1 + \exp(-X_i)} \quad (\text{Logsig}) \quad \text{رابطه ۳}$$

متوسط چگالی هر یک از فواصل شعاعی و عمودی درختان راش در منطقه مورد بررسی به تفکیک بین کلیه پایه‌های قطع شده محاسبه شد.

برای مدلسازی مقادیر مختلف چگالی چوب به دست آمده تنہ درختان راش، از تکنیک شبکه عصبی مصنوعی استفاده شد. داده‌های ورودی برای مدلسازی عبارتند از قطر برایرسینه (DBH)، شاخص محاسباتی حجم<sup>۱</sup> ( $\text{Dim} = \text{DBH}^2 \times H$ )، ضریب لاغری ( $H/\text{DBH}$ )، نسبت قطر تاج به قطر برایرسینه ( $\text{CD}/\text{DBH}$ )، نسبت قطر تاج به ارتفاع ( $\text{CD}/H$ ) و جایگاه عمودی نمونه‌ها<sup>۲</sup> ( $\text{RH}$ ) یا همان ارتفاع نسبی نمونه‌ها (Henry *et al.*, 2010). مهم‌ترین گام‌های ایجاد یک مدل، آماده‌سازی داده‌ها، مدلسازی و ارزیابی مدل است. از این‌رو برای آماده‌سازی، متغیرهای مذکور طبق رابطه ۱ نرمالیزه یا استانداردسازی شدن؛ طوری که تمامی داده‌ها بین ۰ و ۱ قرار گرفته‌اند (بیاتی و نجفی، ۱۳۹۲؛ .(Naghdi and Ghajar, 2012

$$X_n = \frac{X_i - X_{\min}}{X_{\max} - X_{\min}}$$

رابطه ۱

در رابطه بالا،  $X_n$ : متغیر نرمال شده،  $X_i$ : هر یک از ورودی‌ها،  $X_{\min}$  و  $X_{\max}$ : به ترتیب کمترین و بیشترین مقدار ماتریس داده‌های ورودی محاسبه می‌شوند. در مورد مدلسازی، علاوه بر همگنی، بازسازی و استانداردسازی داده‌ها، طراحی شبکه‌های عصبی مصنوعی، از مهم‌ترین موارد است. در طراحی شبکه عصبی، تعیین ساختار شبکه عصبی (تعداد نورون‌ها، لایه و نحوه اتصال گره‌ها)، تعیین مشخصات گره، انتخاب قانون یادگیری<sup>۳</sup> و تعیین الگوریتم‌های آموزش شبکه مدنظر قرار می‌گیرند (شکل ۱). در میان موارد ذکر شده، تعیین الگوریتم‌های آموزش شبکه در حقیقت فرایند وزن‌دهی اولیه، تعیین تابع بهینه برای محاسبه فعالیت خروجی گره‌ها و روش آموزش<sup>۴</sup> وزن‌های شبکه را در برمی‌گیرد

<sup>۱</sup> Surrogate of tree volume

<sup>۲</sup> Vertical position of samples or Relative height position

<sup>۳</sup> Adaption learning function

<sup>۴</sup> Training method

<sup>۵</sup> Synapses

<sup>۶</sup> Feed-forward back prop

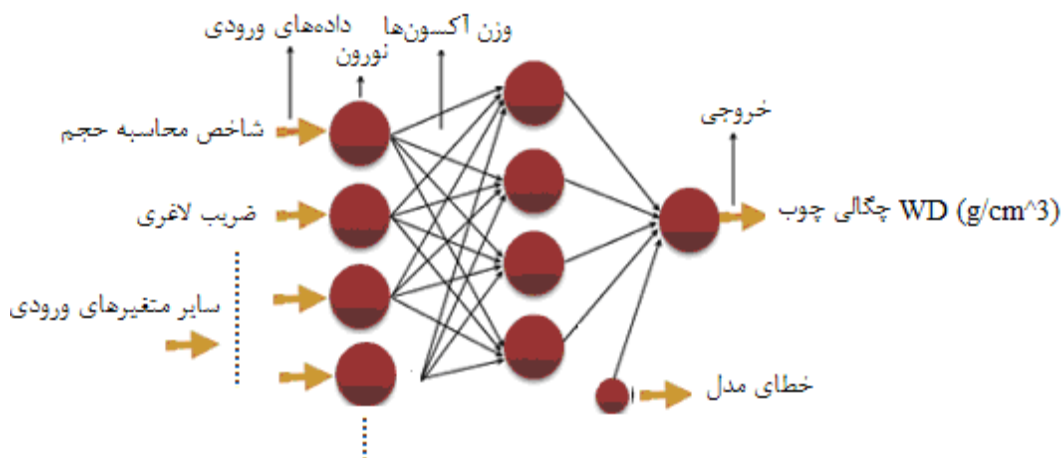
<sup>۷</sup> Transfer function

<sup>۸</sup> Epoch

در رابطه ۴،  $m$ : تعداد نورون در لایه خروجی،  $W_{ij}$ : وزن بین لایه  $i$  و  $j$ ،  $Y_i$ : خروجی نورون  $i$ ،  $B_j$ : نیز مقدار بایاس (خطای) نورون لایه  $j$  در شبکه FFBP است. برای ارائه مدل‌های مختلف تخمینی، ۷۰ درصد از داده‌ها برای آموزش، ۱۵ درصد برای اعتبار و ۱۵ درصد نیز برای آزمون مدل استفاده شدند (Tiryaki and Aydin, 2014).

در رابطه بالا  $x_j$  مجموع وزن‌های اختصاصیافته به هر نورون در لایه  $j$ ، و  $Y_j$ تابع انتقال مربوط به نورون هر لایه است. مجموع اوزان هر نورون در یک لایه (X<sub>j</sub>) از رابطه زیر به دست می‌آید (Naghdi and Ghajar, 2012).

$$X_j = \sum_{i=1}^m W_{ij} \times Y_i + B_j \quad \text{رابطه ۴}$$



شکل ۱- توپولوژی و ساختار شبکه عصبی مورد بررسی برای پیش‌بینی تغییرات عمودی چگالی تنۀ درختان راش

برای پیش‌بینی متغیر چگالی تنۀ درختان راش محسوب می‌شود. آنالیزها با نرم‌افزار Matlab R. 2011a صورت گرفت.

برای اعتبارسنجی به طور مستقیم از شاخص‌های ضریب تبیین آزمون<sup>۲</sup>,  $R^2$ , میانگین مربعات خطای (MSE) آزمون داده‌های مربوط به هر یک از مدل‌های ارائه شده و میانگین درصد انحراف معیار استفاده شد (رابطه‌های ۵ و ۶).

$$\text{MSE} = \frac{1}{n} \sum_{i=1}^n [\hat{Z}(x_i) - Z(x_i)]^2, \quad 0 \leq \text{MSE} \quad \text{رابطه ۵}$$

$$\text{AD (\%)} = \frac{100}{n} \sum_{i=1}^n \frac{|\hat{Y}_i - Y_i|}{Y_i} \quad \text{رابطه ۶}$$

در صورتی که مدلی با توپولوژی مختص به خود دارای حداکثر ضریب تبیین و حداقل خطا باشد، مدل نهایی یا مدل بهینه (Tiryaki and Aydin, 2014)

**نتایج**  
ضریب خشکی و چگالی  
با توجه به جدول ۱، نتایج آنالیز واریانس یکطرفه در رابطه با تغییرات رطوبت چوب و چگالی نمونه‌های تکه‌برداری شده در واحد حجمی ثابت نشان داد که ضرایب خشکی و چگالی در مقاطع شعاعی و عمودی چوب تنۀ درختان راش دارای تغییرات معنی‌داری نیستند ( $P > 0.05$ ).

جدول ۱- نتایج تجزیه واریانس تغییرات شعاعی و عمودی ضریب رطوبت و چگالی چوب درختان راش

منبع تغییرات	میانگین مربعات	F	سطح معنی‌داری
ضریب رطوبت			
ضریب رطوبت در مقاطع عرضی تنہ	۰/۰۰۲	۰/۹۹۳	۰/۴۲۴ <sup>ns</sup>
ضریب رطوبت در راستای عمودی تنہ	۰/۰۰۰	۰/۰۱۴	۰/۹۸۶ <sup>ns</sup>
چگالی چوب			
چگالی چوب در مقاطع عرضی تنہ	۰/۰۱۴	۱/۷۵۵	۰/۲۵۱ <sup>ns</sup>
چگالی چوب در راستای عمودی تنہ	۰/۰۰۰۱	۰/۰۵۵	۰/۹۴۶ <sup>ns</sup>

(P &gt; 0.05): F: آماره تحلیل واریانس، ns: عدم معنی‌داری (P &gt; 0.05)

زیر نتایج آزمون توکی نشان داد که بین کلیه مقادیر میانگین ضرایب خشکی مقاطع عرضی و عمودی، چگالی مقاطع عرضی و عمودی تنہ راش اختلاف معنی‌داری وجود ندارد.

جدول‌های ۲ و ۳ به ترتیب کمترین، بیشترین مقدار و میانگین ( $\pm$  اشتباه معیار) ضریب رطوبت و چگالی تنہ مقاطع عرضی و عمودی تنہ درختان راش را در منطقه پژوهش نشان می‌دهد. مطابق جدول‌های

جدول ۲- میانگین ( $\pm$  اشتباه معیار)، کمترین و بیشترین ضرایب خشکی شعاعی و عمودی تنہ درختان راش

ضریب رطوبت شعاعی	کمینه	بیشینه	میانگین
ضریب رطوبت شعاعی در فاصله ۱۰ درصد	۰/۸۶	۰/۸۹	۰/۸۷ $\pm$ ۰/۰۰۹ a
ضریب رطوبت شعاعی در فاصله ۵۰ درصد	۰/۸۸	۰/۹۱	۰/۸۹ $\pm$ ۰/۰۰۸ a
ضریب رطوبت شعاعی در فاصله ۹۰ درصد	۰/۷۶	۰/۹۰	۰/۸۴ $\pm$ ۰/۰۴۱ a
ضریب رطوبت عمودی			
ضریب رطوبت عمودی در فاصله ۵ درصد	۰/۵۸	۰/۹۴	۰/۷۷ $\pm$ ۰/۰۲۹ a
ضریب رطوبت عمودی در فاصله ۳۵ درصد	۰/۶۱	۰/۹۴	۰/۷۷ $\pm$ ۰/۰۲۱ a
ضریب رطوبت عمودی در فاصله ۶۵ درصد	۰/۶۴	۰/۹۱	۰/۷۷ $\pm$ ۰/۰۱۹ a

حروف مشابه در هر ستون نشان‌دهنده عدم اختلاف معنی‌دار در سطح ۵ درصد است.

جدول ۳- میانگین ( $\pm$  اشتباه معیار)، کمترین و بیشترین چگالی شعاعی و عمودی تنہ درختان راش

چگالی شعاعی	کمینه	بیشینه	میانگین
چگالی شعاعی در فاصله ۱۰ درصد	۰/۶۰	۰/۶۸	۰/۶۳ $\pm$ ۰/۰۳۹ a
چگالی شعاعی در فاصله ۵۰ درصد	۰/۶۱	۰/۶۶	۰/۶۲ $\pm$ ۰/۰۲۶ a
چگالی شعاعی در فاصله ۹۰ درصد	۰/۴۸	۰/۷۴	۰/۶۱ $\pm$ ۰/۰۷ a
چگالی عمودی			
چگالی عمودی در فاصله ۵ درصد	۰/۵۰	۰/۷۴	۰/۶۱ $\pm$ ۰/۰۱۵ a
چگالی عمودی در فاصله ۳۵ درصد	۰/۴۵	۰/۸۲	۰/۶۲ $\pm$ ۰/۰۲۱ a
چگالی عمودی در فاصله ۶۵ درصد	۰/۴۱	۰/۸۳	۰/۶۱ $\pm$ ۰/۰۲۳ a

حروف مشابه در هر ستون نشان‌دهنده عدم اختلاف معنی‌دار در سطح ۵ درصد است.

برابر سینه، شاخص حجم، نسبت قطر تاج به ارتفاع و قطر برابر سینه، ضریب لاغری و ارتفاع نسبی پس از استانداردسازی (نرمالیزه شدن) برای مدلسازی استفاده شد. پس از نرمالسازی، کمترین و بیشترین حد کلیه متغیرهای مذکور به ترتیب ۰ و ۱ بودند.

**طراحی شبکه عصبی مصنوعی برای مدلسازی چگالی تنء آمار توصیفی هر یک از کمیت‌های ورودی شبکه عصبی برای مدلسازی چگالی تنء درختان راش در جدول ۴ نشان داده شده است. کمیت‌های مذکور هر کدام در قالب قطر**

جدول ۴- میانگین ( $\pm$  اشتباه معیار)، کمترین و بیشترین کمیت‌های ورودی در شبکه عصبی

متغیرهای ورودی	کمینه	بیشینه	میانگین
قطر برابر سینه (سانتی‌متر)	۳۰	۹۵	$۶۱/۴۲ \pm ۴/۵۷$
ارتفاع کل (متر)	۲۷	۴۱	$۳۳/۲ \pm ۰/۷۷$
قطر تاج (متر)	۲/۵	۶	$۴/۲۶ \pm ۰/۲۱$

برابر سینه و مربع قطر و ارتفاع با تعداد یک لایه پنهان و ۲۰ نورون شامل تابع انتقالی (Logsig) و مدل ۱۰ با لایه ورودی شامل نسبت قطر به تاج، قطر برابر سینه، شاخص حجم و ضریب لاغری با تعداد سه لایه پنهان و ۲۰ نورون شامل تابع Logsig است.

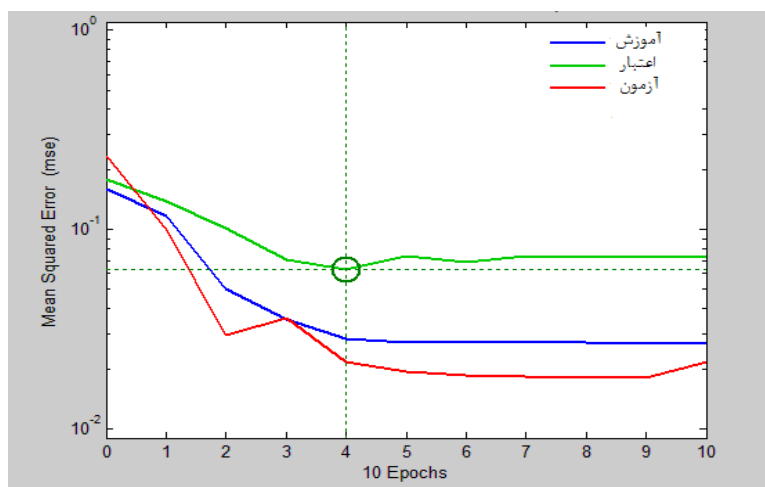
پس از طراحی توپولوژی یا ساختار شبکه مشکل از مقادیر ورودی، تعداد لایه، تعداد نورون و مقدار خروجی، نتایج مربوط به دقت پاسخ تابع انتقال (Logsиг) کاربردی به دست آمد (جدول ۵). نتایج مربوط، طبق جدول ۵ نشان داد که حداکثر دقت دستیابی به پاسخ مربوط به مدل ۵ (حاوی متغیر قطر

جدول ۵- نتایج مربوط به توابع و ترکیب‌های بهینه توپولوژی شبکه عصبی مصنوعی برای مدلسازی چگالی تنء درختان راش

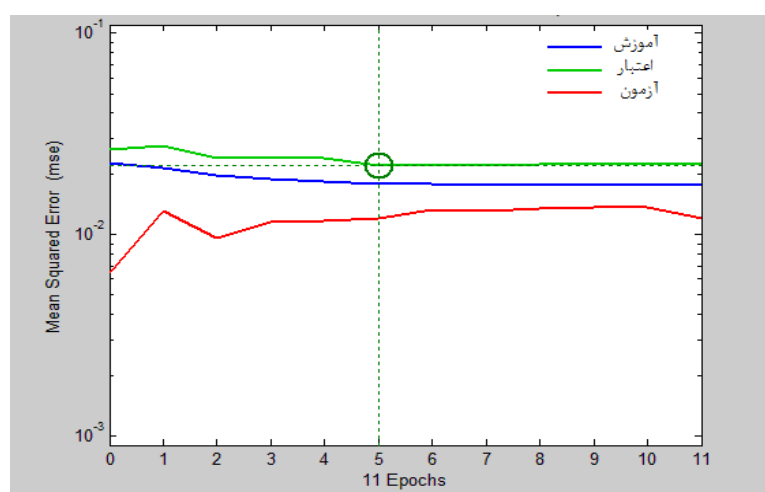
مدل	توپولوژی شبکه	تابع انتقال	Epoch	R <sup>2</sup>	S %
۱	$DBH \rightarrow 1 \rightarrow 5 \rightarrow WD$	Logsig	۱۰	۰/۶۱	۱۱
۲	$DBH \rightarrow 2 \rightarrow 15 \rightarrow WD$	Logsig	۷	۰/۴۲	۱۰
۳	$DBH, DBH^2 \times H \rightarrow 1 \rightarrow 5 \rightarrow WD$	Logsig	۸	۰/۵۰	۱۰/۹
۴	$DBH, DBH^2 \times H \rightarrow 2 \rightarrow 10 \rightarrow WD$	Logsig	۱۱	۰/۵۲	۷/۱۵
۵	$DBH, DBH^2 \times H \rightarrow 1 \rightarrow 20 \rightarrow WD$	Logsig	۶	۰/۸۲	۶/۷۲
۶	$DBH, DBH^2 \times H \rightarrow 2 \rightarrow 25 \rightarrow WD$	Logsig	۶	۰/۶۸	۷/۲۱
۷	$\frac{H}{DBH} \rightarrow 2 \rightarrow 25 \rightarrow WD$	Logsig	۳۲	۰/۴۵	۹/۴
۸	$DBH, \frac{H}{DBH} \rightarrow 2 \rightarrow 25 \rightarrow WD$	Logsig	۳۵	۰/۶۱	۸/۷۳
۹	$DBH, \frac{CD}{DBH} \rightarrow 2 \rightarrow 25 \rightarrow WD$	Logsig	۱۱	۰/۵۱	۷/۳۸
۱۰	$\frac{CD}{DBH}, DBH, DBH^2 \times H, \frac{H}{DBH} \rightarrow 2 \rightarrow 20 \rightarrow WD$	Logsig	۲۰	۰/۷۵	۶/۹
۱۱	$\frac{CD}{DBH}, DBH, DBH^2 \times H, \frac{H}{DBH} \rightarrow 2 \rightarrow 20 \rightarrow WD$	Logsig	۳۲	۰/۶۷	۸/۰۸

حداکثر دقت پیش‌بینی نشان می‌دهند. شکل‌های ۲ و ۳ به ترتیب مربوط به مدل ۱ و ۴ هستند که مدل ۱ اداری حداکثر میانگین مربعات خطای طی ۱۰ دوره تکرار رفت و برگشت است. از این‌رو مدل ۱ در بین کلیه مدل‌های معرفی شده، مدل مطرود و غیر قابل قبول برای پیش‌بینی چگالی چوب محسوب می‌شود. میانگین درصد انحراف معیار مدل ۵ تقریباً کمتر از مدل ۱۰ است، ولی طبق شکل‌های ۴ و ۵ خطای آزمون مدل ۱۰ کمتر از خطای آزمون مدل ۵ است. از این‌رو مدل ۱۰ به عنوان مدل بهینه در تحقیق حاضر معرفی می‌شود.

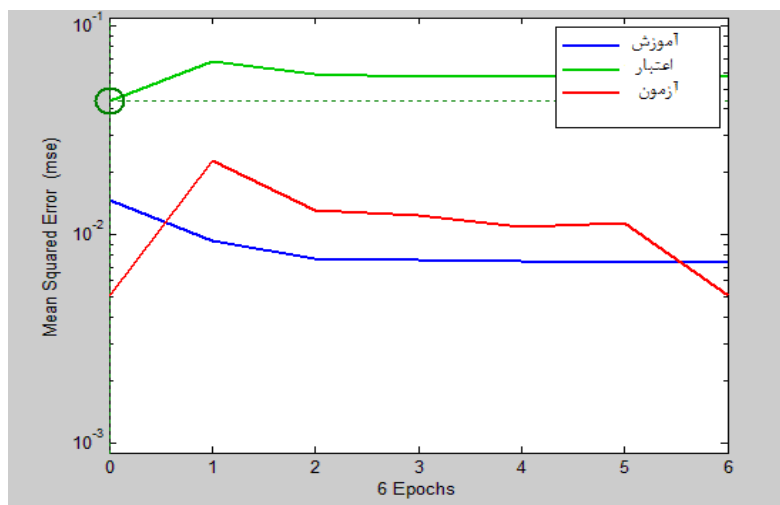
برای رسیدن به پاسخ صحیح با حداقل عدم قطعیت (MSE) از سعی و آزمون مختلف استفاده شد و نتایج متفاوتی به دست آمد. به عبارت دیگر در طراحی و معماری توپولوژی شبکه مورد استفاده، از دامنه‌های وسیع‌تری از متغیرهای ورودی، تعداد لایه‌ها و سورون‌ها استفاده شد، ولی جدول ۵ فقط معماری‌هایی را که در طی سعی و آزمون منجر به حداکثر دقت رسیدن پاسخ شدند نشان می‌دهد. اشکال زیر مقادیر میانگین مربعات خطای آموزش، اعتبار و آزمون مربوط به مدل‌های ۱، ۴، ۵ و ۱۰ را براساس تعداد تکرار دوره چرخش برای رسیدن به



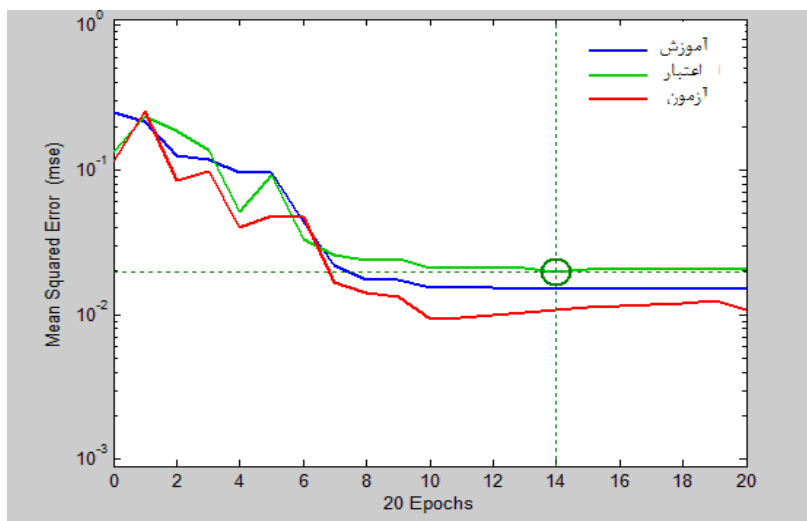
شکل ۲- خروجی خطای محاسباتی آموزش، اعتبار و آزمون مدل ۱ براساس تعداد دوره چرخش



شکل ۳- خروجی خطای محاسباتی آموزش، اعتبار و آزمون مدل ۴ براساس تعداد دوره چرخش



شکل ۴- خروجی خطای محاسباتی آموزش، اعتبار و آزمون مدل ۵ براساس تعداد دوره چرخش



شکل ۵- خروجی خطای محاسباتی آموزش، اعتبار و آزمون مدل ۱۰ براساس تعداد دوره چرخش

تحقیقات مختلفی صورت گرفته است. برخی از پژوهش‌ها اذعان دارند که چگالی محاسباتی در راستای عمودی تنۀ برای برآورد زی‌توده درختان براساس شکل معماري درختان در قالب ضریب شکل تنۀ، دارای تفاوت معنی‌داری هستند (Navar, 2009) طوری که این مقدار تغییرات در ارتفاع برابرسینه به نسبت ۱۰ درصد ارتفاع نسبی درختان دارای تغییرات محسوسی است؛ بهاین دلیل که در برآورد زی‌توده با استفاده از معادلات بولوژی (آلومتریک) با استفاده از

بحث نتایج تحقیق حاضر نشان داد که برخلاف انتظار، تغییرات رطوبت چوب و چگالی بحرانی تنۀ در راستای شعاعی و عمودی تنۀ درختان راش دارای تغییرات معنی‌داری نیست. بدین معنی که علاوه بر محتوای رطوبتی، توزیع جرم حجمی راستای عرضی و عمودی تنۀ درختان راش منطقه مورد بررسی یکنواخت است. در مورد تغییرات عرضی و عمودی چگالی بحرانی چوب بهخصوص در زمینه محاسبات زی‌توده،

آنها بر این اصل استوارند که روند تغییرات شعاعی و عمودی چگالی درختان بین گونه‌های مختلف درختان از یک جنس یا بین جنس‌های مختلف به خصوص در رویشگاه‌ها و در زیستبوم‌های مختلف، بی‌تردید دارای تغییرات معنی‌داری‌اند و به همین دلیل در مدلسازی زی‌توده‌های آمیخته، چگالی چوب یکی از عامل‌های مهم برای افزایش دقت تخمین محسوب می‌شود (Alvarez *et al.*, 2012; Chave *et al.*, 2005; Djomo *et al.*, 2010; Ketterings *et al.*, 2001). همچنین پژوهش‌های مذکور تأکید کردند که چگالی چوب درون گونه‌ای در یک رویشگاه نمی‌تواند دارای تغییرات چندانی باشد. اگرچه باید در نظر داشت که هر چه واریانس میانگین چگالی چوب درختان یک گونه یا گونه‌های مختلف کمتر باشد، محاسبه غیرتخریبی زی‌توده و ترسیب کردن درختان همان گونه، دقیق‌تر و به واقعیت نزدیک‌تر است (Alvarez *et al.*, 2012; Peichl and Arain, 2006). البته باید در نظر داشت که یکی دیگر از عوامل اختلاف مقادیر مختلف چگالی چوب بین پایه‌های مختلف یک گونه یا گونه‌های متفاوت از یک رویشگاه یا رویشگاه‌های دیگر، می‌تواند خطای اندازه‌گیری و نبود رویه استاندارد نمونه‌برداری باشد (vallet *et al.*, 2006). علاوه بر آن، در مورد یکی دیگر از عوامل مؤثر در زمینه تغییرات یا عدم تغییرات چگالی چوب تنه، می‌توان به راهبرد و نحوه رویش درختان تحت تأثیر عوامل مختلف شرایط رویشگاهی و اکولوژیکی و شرایط بیومکانیکی چوب درختان اشاره کرد (Henry *et al.*, 2010) که همه‌این موارد می‌توانند در زمینه مقادیر مختلف چگالی چوب درختان یک گونه یا گونه‌های مختلف، تأثیر اساسی داشته باشد.

براساس شواهد متعددی چگالی چوب تنه درختان علاوه بر ساختار مکانیکی، تحت تأثیر ویژگی‌های بیوفیزیکی از جمله قطر، ارتفاع، ضریب لاغری، ارتفاع نسبی، و نسبت ویژگی‌های تاجی است

قطر در ارتفاع نسبی درختان به جای قطر برابر سینه دقیت تخمین زی‌توده افزایش می‌یابد (Fehrman and Kleinn, 2006). پس می‌توان نتیجه‌گیری کرد که جرم حجمی تنہ در ارتفاع نسبی مذکور، مقادیر بیشتری نسبت به ارتفاع برابر سینه دارد. همچنین در تحقیقات دیگر مانند De Castro *et al.* (1991), Amorim (1991) گرفته از Henry *et al.* (2010) و Henry *et al.* (2010) (Henry *et al.* 2010) گزارش شد که چگالی بحرانی چوب تنه درختان از مرکز مقاطع عرضی در راستای شعاعی به سمت پوست روند کاهشی داشته است. در صورتی که Epinoza (2004) درست برخلاف این موضوع را نشان داد و واحدی و متاجی (۱۳۹۲) نیز در بررسی تغییرات شعاعی چگالی بحرانی تنه درختان بلوط از مرکز به سمت پوست روند سینوسی را گزارش کردند. همچنین می‌توان به پژوهش Heitz *et al.* (2013) در زمینه تغییرات چگالی چوب در جهت عرضی ۳۰۰ گونه مختلف در مناطق استوایی و نیمه‌استوایی اشاره کرد که یافته‌هایشان نشان داد در این خصوص روند شاخص و مورد توافقی وجود ندارد. یکی از مهم‌ترین مواردی که در خصوص مقاطع عرضی گونه‌های مختلف درختان راش در زیستبوم‌های مختلف باید در نظر گرفته شود ناحیه دل قرمزی است که اغلب به شکل توده‌ای وجود دارد (Sachssee *et al.*, 1991; Liu *et al.*, 2005). بنیاد (۱۳۹۳) در مورد بررسی ناحیه دل قرمزی راش در جنگل‌های حوزه شفارود گیلان نشان داد که ۲۷/۷۳ درصد از درختان گونه مذکور مبتلا به دل قرمزی با شکل نامشخص‌اند. نواحی دل قرمزی در درختان راش منطقه پژوهش بررسی نشد، ولی با توجه به اینکه در نتایج تحقیق حاضر گروه نمونه‌های مربوط به هر یک از مقاطع عرضی پایه‌های مختلف دارای اختلاف معنی‌دار نبودند از این لحاظ پراکندگی دل قرمزی در برخی از پایه‌های مورد بررسی در خصوص مقادیر چگالی چوب تأثیر بارزی نداشتند. در بین کلیه تحقیقات صورت گرفته، بیشتر

است، میانگین مربعات خطای آزمون آن نسبت به خطای آموزش و اعتبار در دامنه وسیع تری قرار دارد و با توجه به حد بهینه یا استاندارد خطای نشان داده شده، می توان دریافت که مدل مذکور طی چند سری الگوریتم آموزش معرفی شده است که از این لحاظ، مدل قابل قبول برای تخمین چگالی چوب در تحقیق حاضر معرفی نمی شود. البته در تحقیق حاضر به دلیل بیان ساده‌تر فقط از تابع Logsig استفاده شد. البته احتمال دارد که در صورت استفاده از توابع دیگر انتقال نورون نتایج متفاوت با دقت‌های متفاوتی حاصل شود. (Naghdi and Ghajar 2012) در زمینه کاربرد شبکه عصبی مصنوعی در مدلسازی زمان چوبکشی در سیستم بهره‌برداری از توابع Logsig و Tansig با توبولوژی مختلف برای الگوریتم آموزش استفاده کردند و نتیجه گرفتند هر تابع با معماری یا ساختار مختلف در شبکه FFBP دارای دقت متفاوتی است. همچنین می توان به تحقیق بیاتی و نجفی (۱۳۹۲) اشاره کرد که از تابع انتقال Sigmoid برای شبکه چندلایه پرسپترون<sup>۱</sup> و تابع softmax برای شبکه تابع شعاع‌مدار<sup>۲</sup> با توبولوژی‌های مختلف برای برآورد حجم تنء درختان استفاده کردند و نتیجه گرفتند که هر شیکه با توبولوژی متفاوت و ورود یا عدم ورود متغیرهای مستقل دارای دقت برآورده متفاوتی است. همان‌طور که در موارد قبل نیز ذکر شد، برای تعیین صحت مدل، مقادیر ضریب رگرسیون (یا ضریب تبیین<sup>۲</sup> R<sup>۲</sup>)، میانگین درصد انحراف معیار (S%) و میانگین مربعات خطای آزمون مدل معیار ارزیابی و انتخاب می شود. با توجه به اینکه کلیه مقادیر انحراف معیار در جدول ۵ نشان داده شده است، به جای نمایش برازش بین مشاهدات و تخمین مدل از خروجی اجرای خطای آموزش، اعتبار و آزمون براساس تعداد چرخش (برای پسانشان تا رسیدن به حداقل خطأ و پاسخ بهینه) برای مدل‌های غیرقابل

(Alvarez *et al.*, 2012; Henry *et al.*, 2010) توجه به اینکه بین کلیه متغیرهای مذکور هم خطی چندگانه وجود دارد و از طرفی هر کدام از لایه‌های ورودی می‌توانند رابطه‌های مختلف (خطی یا غیر خطی با اوزان مختلف) با متغیر پاسخ مورد مطالعه در تحقیق حاضر داشته باشند، مدلسازی براساس تحلیل رگرسیون بسیار سخت یا ناممکن است. به این منظور، برای مدلسازی و پیش‌بینی چگالی تنء درختان راش از تکنیک شبکه عصبی مصنوعی استفاده شد. نتایج تحقیق حاضر نشان داد که مدلسازی و پیش‌بینی مقادیر مختلف چگالی بحرانی تنء درختان راش در منطقه مورد پژوهش با استفاده از شبکه عصبی مصنوعی در مقایسه با مدلسازی توابع مختلف ریاضی بر اساس تحلیل رگرسیون دارای دقت زیادی است. به طور معمول در شبکه عصبی، هم خطی چندگانه و خود همبستگی بین متغیرها مؤثر نیست و علاوه‌بر آن، نوع روابط بین هر یک از متغیرهای ورودی و خروجی (خطی یا غیر خطی) تصحیح می‌شود (منهاج، ۱۳۸۱). در شبکه عصبی مصنوعی با توجه به اینکه وزن‌دهی، انتخاب لایه‌ها و نورون‌ها و دریافت سیگنال‌ها کاملاً تصادفی است و تبادل اطلاعات تا حد رسیدن به یک پاسخ با حداقل دقت ادامه پیدا می‌کند (Hagan *et al.*, 1996)، مقدار قابلیت پیش‌بینی مقادیر چگالی تنء درختان راش در منطقه تحقیق افزایش می‌یابد. نتایج این تحقیق نشان داد که در کل، تابع انتقال Logsig با توبولوژی مختلف شبکه طی الگوریتم آموزش، تقریباً ضریب رگرسیون مختلفی را نشان دادند. با توجه به معیار انتخاب مدل بهینه، علاوه‌بر ضریب رگرسیون (تبیین) میانگین درصد انحراف معیار بین مشاهدات و تخمین و خطای محاسباتی آزمون مدل باید ارزیابی شود. کلیه مدل‌های معرفی شده در تحقیق حاضر پس از وزن‌دهی اولیه، تحت الگوریتم آموزش قرار گرفتند. در مدل ۵ طبق شکل ۴، این حالت مشاهده نمی‌شود. مدل ۵ اگرچه دارای میانگین انحراف معیار کمی

<sup>1</sup> Multi-Layer Perceptron

<sup>2</sup> Radial Basis Function

## منابع

- آفاجانی، حامد، محمدرضا مروی مهاجر، علی جهانی، محمدرضا آصف، انوشیروان شیروانی و مجتبی آذربیان، ۱۳۹۲. بررسی فاکتورهای مؤثر رویشگاهی بر فراوانی قارچهای ماکروسکوپی چوبزی و تحلیل حساسیت با استفاده از شبکه عصبی مصنوعی (مطالعه موردی: جنگل خیروود نوشهر)، تحقیقات جنگل و صنوبر ایران، ۴: ۶۱۷-۶۲۸.
- بنياد، امیر اسلام، ۱۳۹۳. رابطه ارتفاع از سطح دریا، سن، شیب و سن درخت با دل قرمزی راش (*Fagus orientalis Lipsky*) در جنگلهای حوزه شفارود گیلان، نشریه جنگل و فرأوردهای چوب، ۲: ۳۷۱-۳۸۲.
- بیاتی، هادی و اکبر نجفی، ۱۳۹۲. مقایسه عملکرد شبکه‌های عصبی مصنوعی با تحلیل رگرسیون در برآورد حجم تنه درختان، نشریه جنگل و فرأوردهای چوب، ۲: ۱۷۷-۱۹۱.
- علی جانپور شلمانی، عادله، محمود شعبانپور، حسین اسدی و فرید باقری، ۱۳۹۰. تخمین پایداری خاکدانه در خاکهای جنگلی استان گیلان بوسیله شبکه عصبی مصنوعی و توابع انتقالی رگرسیونی، نشریه دانش آب و خاک، ۳: ۱۵۳-۱۶۲.
- منهاج، محمدباقر، ۱۳۸۱. مبانی شبکه‌های عصبی (هوش محاسباتی). جلد اول. مرکز نشر دانشگاه صنعتی امیر کبیر. ۷۱۵ ص.
- واحدی، علی‌اصغر، ۱۳۹۳. تبیین مدل‌های محاسباتی و بهینه زی‌توده تنۀ ممرز (*Carpinus betulus L.*) با استفاده از معادلات آلومتریک در جنگلهای هیرکانی، تحقیقات جنگل و صنوبر ایران، ۲: ۲۲۵-۲۳۶.
- واحدی، علی‌اصغر و اسدالله متاجی، ۱۳۹۲. میزان توزیع ترسیب کرین تنه درختان بلوط (*Quercus castaneifolia*) در ارتباط با عوامل فیزیوگرافی جنگلهای طبیعی شمال ایران، تحقیقات جنگل و صنوبر ایران، ۴: ۷۱۶-۷۲۸.
- واحدی، علی‌اصغر، اسدالله متاجی، ساسان بابایی کفاسکی، جواد اسحاقی راد و سید محمد حجتی، ۱۳۹۲. مدل‌سازی زی‌توده تنۀ گونه راش (*Fagus orientalis Lipsky*) با استفاده از معادلات آلومتریک در جنگلهای هیرکانی، مجله جنگل ایران، ۳: ۳۰۹-۳۲۲.

قبول، استاندارد و بهینه استفاده شد. از این‌رو با توجه به نتایج بهدست‌آمده هر چه میانگین مربعات خطای مربوط به آزمون داده‌ها در تعداد چرخش مشخص شده مقدار کمتری را نشان دهد، مدل از دقت بیشتری برخوردار است.

با توجه به اینکه ترغیب برای بهدست آوردن مقادیر زی‌توده و ترسیب کرین درختان جنگل به ترتیب برای مدیریت بهینه توسعه پایدار و گرمایش زمین، با استفاده از روش‌های غیرتخربی رو به افزایش است، برآورد هر چه دقیق‌تر چگالی بحرانی تنه که خود مستلزم نمونه‌برداری تخریبی است می‌تواند یک عامل مهم در این زمینه محسوب شود. استفاده از شبکه عصبی مصنوعی در این تحقیق نشان داد که برآورد مقادیر چگالی زی‌توده کلان درختی (تنه) با استفاده از مجموعه‌ای از ویژگی‌های بیوفیزیکی درختان با قابلیت اندازه‌گیری بدون هزینه، امکان‌پذیر است. ولی این امر مستلزم تحقیقات بیشتر در مورد دیگر گونه‌های درختان در رویشگاه‌های مختلف و منوط به رویه‌های نمونه‌برداری و تکنیک‌های تحلیلی مشابه است تا با این تفاسیر بتوان به نتایج جامعی در مورد موضوع تحقیق حاضر در جنگلهای شمال کشور دست یافت.

## سپاسگزاری

از آقای مهندس روح‌الله مقصودی دانشجوی دکتری هوش مصنوعی دانشگاه علوم و تحقیقات تهران و آقای دکتر اسماعیل قجر عضو هیأت علمی رشتۀ جنگلداری دانشگاه گیلان به‌واسطه بیان دیدگاه‌های ارزنده برای پیشبرد تحقیق حاضر تشکر و قدردانی می‌شود.

- Aboal, J.R., J.R. Arévalo, and A. Fernández, 2005. Allometric relationships of different tree species and stand aboveground biomass in the Gomera laurel forest (Canary Islands), *Flora*, 200: 264–274.
- Alvarez, E., A. Duque, J. Saldarriaga, K. Cabrera, G.D.L. Salas, L.D. Valle, A. Lema, F. Moreno, S. Orrego, and L. Rodriguez, 2012. Tree above-ground biomass allometries for carbon stocks estimation in the natural forests of Colombia, *Forest Ecology and Management*, 267: 297-308.
- Baker, T.R., O.L. Phillips, Y. Malhi, S. Almeida, L. Arroyo, A. Di Fiore, T. Erwin, T.J. Killeen, S.G. Laurance, W.F. Laurance, S.L. Lewis, J. Lloyd, A. Monteagudo, D.A. Neill, S. Patio, N.C.A. Pitman, J.N.M. Silva, and R.V. Martinez, 2004. Variation in wood density determines spatial patterns in Amazonian forest biomass, *Global Change Biology*, 10: 545–562.
- Basuki, T.M., P.E. van Laake, A.K. Skidmore, and Y.A. Hussin, 2009. Allometric equations for estimating the above-ground biomass in tropical lowland Dipterocarp forests, *Forest Ecology and Management*, 257:1684–1694.
- Chave, J., C. Andalo, S. Brown, M.A. Cairns, J.Q. Chambers, D. Eamus, H. Folster, F. Fromard, N. Higuchi, T. Kira, J.P. Lescure, B.W. Nelson, H. Ogawa, H. Puig, B. Riera, and T. Yamakura, 2005. Tree allometry and improved estimation of carbon stocks and balance in tropical forests, *Oecologia*, 145: 87–99.
- Djomo, A.N., I. Adamou, S. Joachim, and G. Gode, 2010. Allometric equations for biomass estimations in Cameroon and pan moist tropical equations including biomass data from Africa, *Forest Ecology and Management*, 260: 1873–1885.
- Espinoza, J.A., 2004. Within-tree density gradients in *Gmelina arborea* in Venezuela. *New Forests*, 28: 309–317.
- Fang, J.Y., and Z.M. Wang, 2001. Forest biomass estimation at regional and global levels, with special reference to China's forest biomass, *Ecological Research*, 16: 587–592.
- Fehrermann, L., and C. Kleinn, 2006. General considerations about the use of allometric equations for biomass estimation on the example of Norway spruce in central Europe, *Forest Ecology and Management*, 236: 412–421.
- Green, C., B. Tobin, M. O'Shea, E.P. Farrell, and K.A. Byrne, 2007. Above- and belowground biomass measurements in an unthinned stand of Sitka spruce (*Picea sitchensis* (Bong) Carr), *European Journal of Forest research*, 126: 179- 188.
- Hagan, M.T., H.B. Dcmuth, and M. Beale, 1996. Neural Network design, PWS publishing co, United States of America.
- Hanewinkel, M., W. Zhou, and C.H. Schill, 2004. A neural network approach to identify forest stands susceptible to wind damage, *Forest Ecology and Management*, 196(2): 227-243.
- Henry, M., A. Besnard, W.A. Asante, J. Eshun, S. Adu-Bredu, R. Valentini, M. Bernoux, and L. Saint-André, 2010. Wood density, phytomass variations within and among trees, and allometric equations in a tropical rainforest of Africa, *Forest Ecology and Management*, 260: 1375–1388.
- Hietz, P., R. Valencia, and S. Joseph Wright, 2013. Strong radial variation in wood density follows a uniform pattern in two neotropical rain forests, *Functional Ecology*, 27 (3):684-692.
- Higuchi, N., and J. de Carvalho, 1994. Fitomassa e conteúdo de carbono de espécies arbóreas da AmazôniaAnais do Seminário Emissão X Seqüestro de CO<sub>2</sub>, Companhia Vale do Rio Doce., Rio de Janeiro, Brazil: 125–153.
- Joosten, R., J. Schumacher, C. Wirth, and A. Schulte, 2004. Evaluating tree carbon predictions for beech (*Fagus sylvatica* L.) in western Germany, *Forest Ecology and Management*, 189: 87- 96.
- Ketterings, Q.M., R. Coe, M.V. Noordwijk, Y. Ambagau, and C.A. Palm, 2001. Reducing uncertainty in the use of allometric biomass equations for predicting above-ground tree biomass in mixed secondary forests, *Forest Ecology and Management*, 146: 199-209.

- Kirby, K.R., and C. Potvin, 2007. Variation in carbon storage among tree species: Implications for the management of a small-scale carbon sink project, *Forest Ecology and Management*, 246: 208–221.
- Liu, S., C. Loup, J. Gril, O. Dumonceaud, A. Thibaut, and B. Thibaut, 2005. Studies on European beech (*Fagus sylvatica* L.). Variations of wood color parameters, *Journal of Forest Science*, 62: 625–632.
- Machado, J.S., J.L. Louzada, A.J.A. Santos, L. Nunes, O. Anjos, J. Rodrigues, R.M.S. Simões, and H. Pereira, 2014. Variation of wood density and mechanical properties of blackwood (*Acacia melanoxylon* R. Br.), *Materials and Design*, 56: 975–980.
- Mani, S., and N. Parthasarathy, 2007. Above-ground biomass estimation in ten tropical dry evergreen forest sites of peninsular India, *Biomass and Bioenergy*, 31: 284–290.
- Naghdi, R., and I. Ghajar, 2012. Application of Artificial Neural Network in the Modeling of Skidding Time Prediction, *Advanced Materials Research*, 403: 3538–3543.
- Navar, J., 2009. Allometric equations for tree species and carbon stocks for forests of northwestern Mexico, *Forest Ecology and Management*, 257: 427–434.
- Pajtik, J., B. Kono^pka, and M. Lukac, 2008. Biomass functions and expansion factors in young Norway spruce (*Picea abies* [L.] Karst) trees, *Forest Ecology and Management*, 256: 1096–1103.
- Peichl, M., and M.A. Arain, 2006. Above- and belowground ecosystem biomass and carbon pools in an age-sequence of temperate pine plantation forests, *Agricultural and Forest Meteorology*, 140: 51–63.
- Ribeiro, S.C., L. Fehrmann, C. Pedro Boechat Soares, L. Antônio Gonçalves Jacovine, C. Kleinn, and R. de Oliveira Gaspar, 2011. Above- and belowground biomass in a Brazilian Cerrado, *Forest Ecology and Management*, 262: 491–499.
- Sachsse, H., 1991. Heartwood types of common Beech, *Journal of Forstarchiv*, 62: 238–242.
- Tiryaki, S., and A. Aydin, 2014. An artificial neural network model for predicting compression strength of heat treated woods and comparison with a multiple linear regression model, *Construction and Building Materials*, 62: 102–108.
- Vallet, P., J.F. Dho^te, G.L. Mogue^dec, M. Ravart, and G. Pignard, 2006. Development of total aboveground volume equations for seven important forest tree species in France, *Forest Ecology and Management*, 229: 98–110.
- Woods, K., and K.W. Bowyer, 1997. Generating ROC Curves for Artificial Neural Networks, *IEEE Transactions on Medical Imaging*, 3: 329–337.
- Zhu, B., X. Wang, W. Fang, S. Piao, H. Shen, S. Zhao, and C. Peng, 2010. Altitudinal changes in carbon storage of temperate forests on Mt Changbai, Northeast China, *Carbon Cycle Process in East Asia*, 123: 439–452.

**Modelling radial and vertical variations of bole wood density of beech  
(*Fagus orientalis* Lipsky) in the Caspian forests using  
artificial neural network technique**

**A.A Vahedi<sup>\*1</sup>, A. Mataji<sup>2</sup>, and F. Faraji<sup>3</sup>**

<sup>1</sup> Ph.D, Forest Ecology and Silviculture, Research Institute of Forests and Rangelands, Tehran, I.R. Iran.

<sup>2</sup> Associate Prof., Science and Research Branch, Islamic Azad University, Tehran, I. R. Iran.

<sup>3</sup> M.Sc., Science and Research Branch, Islamic Azad University, Tehran, I. R. Iran.

(Received: 11 January 2015, Accepted: 11 March 2015)

### **Abstract**

Wood density is the most prominent variable that reflects aspects related to the history and evolution of biomass production, of carbon stock and of succession state of the area. In order to develop the wood density modeling, a long disk was taken at different height levels (at 5%, 35% and 65% of total tree height) of beech trees (*F. orientalis*) which were cut in compartment 26 located in the 3<sup>th</sup> district of Hajikola-Tirankoli forests of Sari in winter 2013. From each disk, specimens ( $2 \times 2 \times 2 \text{ cm}^3$ ) were cut at three distances from the pith (10%, 50% and 90% of the radius length) and oven-dried at 105°C for 24 hours. After wood density calculation, the results of ANOVA showed that the radial and vertical variations of studied variable are not significantly different. All variables of wood density along with the bole were simulated based on the biophysical inputs through the neural network of feed forward back propagation (FFBP). In this study, all models including different topology with non-linear transfer function of Logsig were introduced. The result of modeling showed that the model consisting of crown diameter to diameter at breast height (DBH) ratio, DBH, surrogate of tree volume and slenderness ratio with topology of three hidden layers and twenty neurons with least mean squared error of test, was the best model to predict wood density ( $R^2 = 0.75$ ;  $S = 0.07$ ).

**Keywords:** Artificial intelligence, Carbon sequestration, Topology, Transfer function, Wood density.